

4 面体セル分割による流線生成アルゴリズム

3 D-7

土井章男、小山田耕二、宮沢達夫、小出昭夫

日本アイ・ビー・エム株式会社

東京基礎研究所

Abstract

本論文では、構造および非構造格子で与えられるベクタデータから流線を高速に生成する方法について述べる。本アルゴリズムは、格子空間を4面体セルに分割し、4面体セルごとに流線を求めていく。4面体セル内の流線生成は、一定の精度を保持しながら、線形補間により求めていく。各4面体セル間の横断は、その隣接情報により行なう。

1 はじめに

圧力勾配、熱流束、密度勾配、電界等の測定データやシミュレーション結果は、格子点上のベクタデータとして出力され、この出力を研究者やエンジニアが容易に理解するためにベクタデータの可視化が重要になっている。ベクタデータの可視化には領域ごとにマーカー(矢印、円錐、シリンダー等)をプロットする方法が有名であるが、この方法は表示が早い反面、マーカーが互いに重なりあうためにわかりにくい。このため、ボリュームデータの場合、流線がよく使われるようになってきた。流線は、次の式により定義される。

$$dX/dt = V \quad (1)$$

ここで、 V は位置ベクトル X におけるベクタを表す。流線をパラメトリックに求める方法は、ユーザの与えるパラメータ dt を用いて、次式により始点から繰り返し計算を行う。

$$X(t+dt) = X(t) + V(dt) \quad (2)$$

この方法は、ユーザが与えるパラメータ dt の設定が難しく、小さくしすぎて生成される流線のデータ量が膨大になったり、大きくし過ぎて十分な精度が得られなかったりすることがある。本論文で述べるアルゴリズムは、この問題点を解決するために考案された。

2 4面体セル分割

本アルゴリズムは各4面体セルごとに流線を求めながら、隣接している4面体セルへ効率よく横断する。格子空間を4面体セルに分割する方法は、既にいくつか

の方法が報告されている[1, 2, 3]。ここでは、構造格子における4面体分割については、文献1)の方法により、5個の4面体セルに分割する。非構造格子における4面体分割については、文献3)の方法を採用する。上記の方法により作成された4面体セルは、隣接格子との間に矛盾を起こさないように分割され、かつ、各4面体セル間で隣接情報を保持している。

3 流線生成アルゴリズム

4面体セル内部で計算される回数は、4面体セルごとに自動的に調整され、この計算には4面体の次の性質が用いられる。

1) 4面体セルの頂点の座標を X_0, X_1, X_2, X_3 、頂点におけるベクタ値を V_0, V_1, V_2, V_3 とすると、4面体セル内部の点 X は、

$$X = t_0X_0 + t_1X_1 + t_2X_2 + t_3X_3 \quad (3)$$

そして、その位置におけるベクタ値は、

$$V = t_0V_0 + t_1V_1 + t_2V_2 + t_3V_3 \quad (4)$$

ここで、 t_0, t_1, t_2, t_3 は、次式(5)、(6)を満たすパラメトリック変数である。

$$0 < t_0, t_1, t_2, t_3 < 1 \quad (5)$$

$$t_0 + t_1 + t_2 + t_3 = 1 \quad (6)$$

よって、4面体セル内部では、すべて線形補間のみで位置座標とベクタ値を求められる。流線の始点がユーザから与えられると最初にその始点を含む格子空間および4面体セルを見つける。次にその4面体セルから流線を求めながら、4面体セルを横断していく。以下に示すのは、4面体セル内部での流線生成アルゴリズムである。

Step 1) 4面体セルへの流入点における位置を X_{in} 、ベクタ値を V_{in} とすると、直線

$$X = X_{in} + A * V_{in} \quad (7)$$

と四面体セルの流出点 X_{out} を求める。始点を含む最初の4面体セルの場合は、その始点が X_{in} とする。

Step 2) 流出点 X_{out} におけるベクタ V_{out} を式(4)より求める。

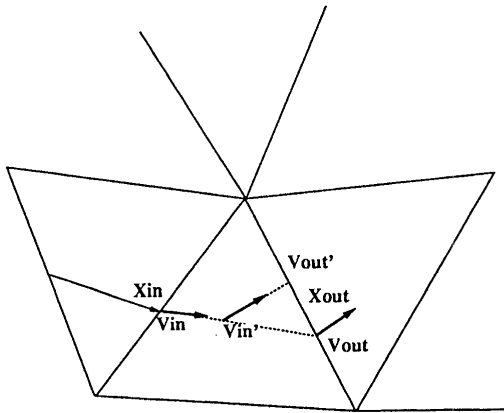


図 1: Streamlines Generation in Tetrahedral Cells

Step 3) ベクタ値 V_{in} , V_{out} を正規化し、その内積 c を求める。 c は、-1 から+1 の範囲の値になる。

Step 4) もし、内積 c がユーザの与えるしきい値 C_{max} より小さいときは、4 面体セル内部の位置 X_p を式 (8) より求める。

$$X_p = X_{in} + 0.5 * (c + 1) * (X_{out} - X_{in}) \quad (8)$$

位置 X_p におけるベクタ V_p は、4 面体セル内部における線形性により、式 (9) より求める。

$$V_p = V_{in} + 0.5 * (c + 1) * (V_{out} - V_{in}) \quad (9)$$

4 面体セル内部でベクタ値が線形性を有することは、式 (4) より自明である。内積 C がしきい値 C_{max} より大きいときは、 X_{out} 、 V_{out} を X_p 、 V_p とし、隣あう 4 面体セルに移る。

Step 5) Step 4) で求めた X_p 、 V_p を新しい X_{in} 、 V_{in} として、同じ操作を Step 1) から繰り返す。

流線が一番、外側の 4 面体セルまで横断すれば終了である。4 面体セル内部での流線の収束を避けるために最大反復回数 M を用いた。図 1 に 4 面体セル内での流線発生における反復の様子を示す。

4 結論

本アルゴリズムは、次のような長所をもつ。(1) 4 面体セルの頂点座標とそのベクタ情報しか必要としないため、適用範囲が広い。(2) 4 面体セルの線形性を利用して、流線を高速に生成できる。(3) 各 4 面体ごとに刻み幅を自動的に変えることができ、4 面体セルの横断も隣接情報を保持しているため、高速である。本アルゴリズムのインプリメンテーションは、RS/6000 上で C 言語により行い、実際、半導体チップ製造のためのクリーンルームでの流体解析結果に用いて、有効性を確認した(図 2)。

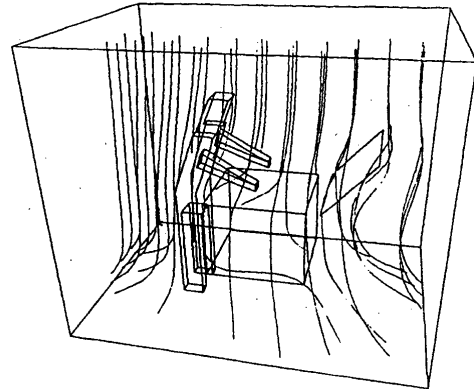


図 2: An Example

参考文献

- [1] A. Doi and A. Koide, *An Efficient Method of Triangulating Equi-Valued Surfaces*, IEICE Transactions, Vol. E74, No. 1, pp. 214-224, 1991.
- [2] K. Kaneda, K. Harada, Y. Sato, and E. Nakamae, *A Visualization Method of Three-Dimensional Vector-Valued Data*, J. of Trans. of Information Processing Society of Japan, Vol. 27, No. 6, pp. 567-574, 1986.
- [3] K. Koyamada, *Volume Visualization for the Unstructured Grid Data*, SPIE Symposium on Electronic Imaging Conference Proceedings, Vol. 1259, pp.14-25, 1990.